

2. OPTICKÉ VLNOVODY

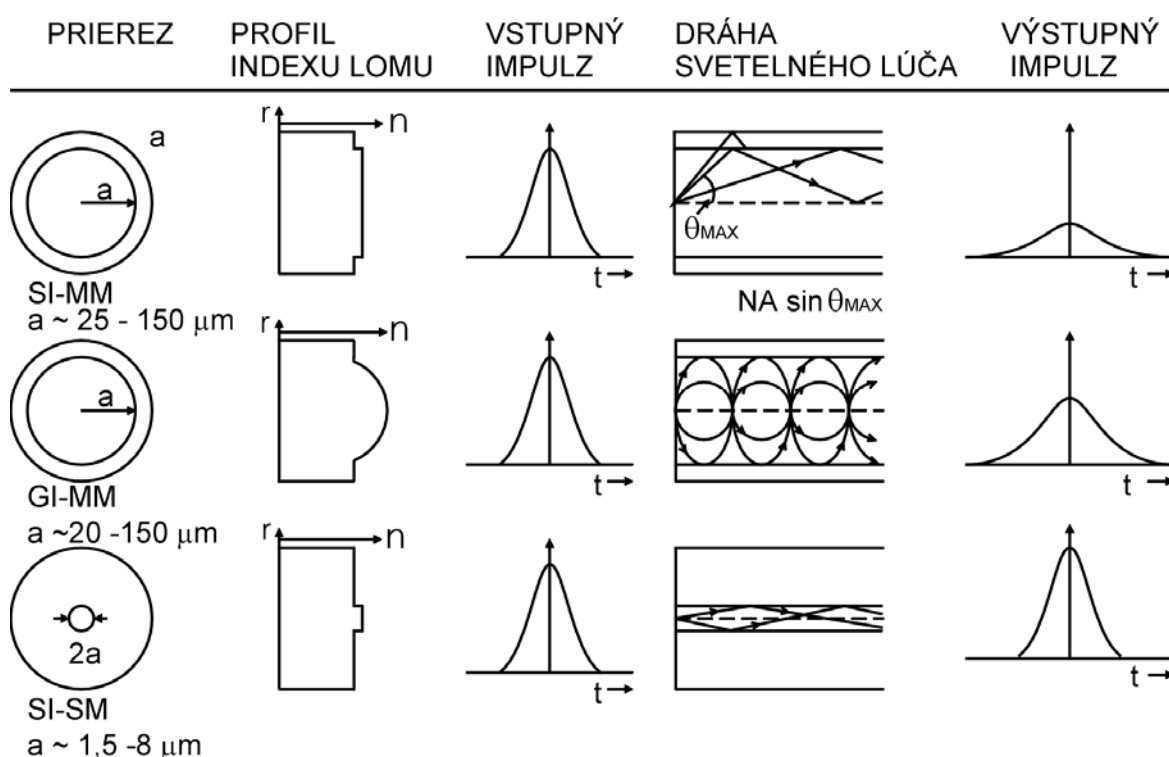
2.1 ROZDELENIE A ZÁKLAĐNÉ TYPY OPTICKÝCH VLNOVODOV

Optický vlnovod (dielektrický svetlovod)

1950 – priemyslová výroba optických vláken

1. Telekomunikačné vlákna pre veľké vzdialenosť.
2. Telekomunikačné vlákna pre stredné vzdialenosť a miestny styk a lokálne komunikácie.
3. Vlákna pre osvetľovanie, kontrolné, diagnostické a meracie systémy.
4. Vlákna pre špeciálne systémy (vojenské, pozorovacie, prenos obrazu a pod.).
5. Vlákna na prenos energie (pre lekárske účely – špeciálny skalpel, obrábanie a pod.).
6. Vlákna pre senzorové systémy.

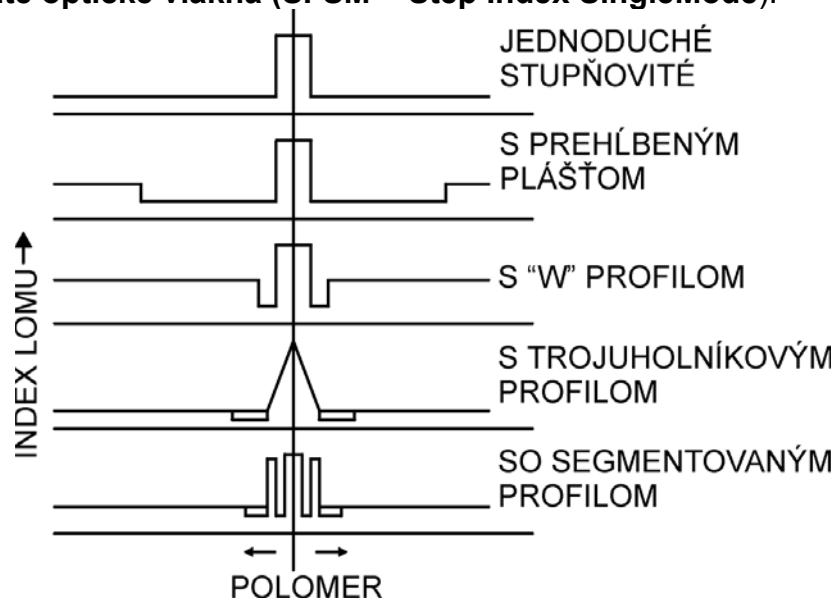
Pre telekomunikačné účely (obr.2.1, obr. 2.2) :



Obr. 2.1 Najčastejšie používané telekomunikačné optické vláka.

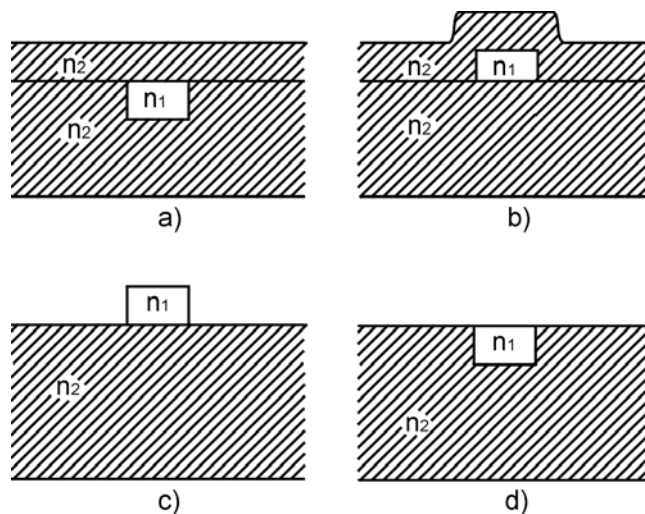
- mnohovidové vlákna** so skokovitým (stupňovitým) profilom indexu lomu, tzv. **stupňovité optické vlákna (SI-MM - Step Index MultiMode)**,
- mnohovidové vlákna** so spojitým (gradientným) profilom indexu lomu, tzv. **gradientné optické vlákna (GI-MM - Graded Index MultiMode)**,

- c) jednovidové vlákna so skokovitým (stupňovitým) profilom indexu lomu, tzv. **stupňovité optické vlákna (SI-SM - Step Index SingleMode)**.



Obr. 2.2 Profily indexu lomu jednovidových optických vlákienn.

Planárne optické vlnovody – integrovaná optika.



Obr. 2.3 Priečny rez niektorých planárnych optických vlnovodov.

2.2 ZÁKLADNÉ POJMY VLNOVEJ A LÚČOVEJ TEÓRIE ŠÍRENIA SVETLA

2.2.1 VLNOVÁ ROVNICA

Maxwellove rovnice

$$rot \vec{E} = - \frac{\partial \vec{B}}{\partial t} \quad (2.2.1)$$

$$\text{rot } \vec{H} = \frac{\partial \vec{D}}{\partial t} \quad (2.2.2)$$

$$\text{div } \vec{B} = 0 \quad (2.2.3)$$

$$\text{div } \vec{E} = 0 \quad (2.2.4)$$

zviazané materiálovými vzťahmi

$$\vec{D} = \epsilon \vec{E} \quad (2.2.5)$$

$$\vec{B} = \mu \vec{H} \quad (2.2.6)$$

Pre harmonickú časovú závislosť – **Helmholtzove vlnové rovnice**

$$\Delta \vec{E} + k^2 \vec{E} = 0 \quad (2.2.7)$$

$$\Delta \vec{H} + k^2 \vec{H} = 0 \quad (2.2.8)$$

kde

$$k = \omega \sqrt{\epsilon \mu} \quad (2.2.9)$$

je **vlnové číslo**.

Zložky \vec{E} a \vec{H} – riešením **vlnovej rovnice**

$$\Delta \psi + k^2 \psi = 0 \quad (2.2.10)$$

Laplaceov operátor v kartézskej súradnicovej sústave

$$\Delta \psi(x, y, z) = \frac{\partial^2 \psi}{\partial x^2} + \frac{\partial^2 \psi}{\partial y^2} + \frac{\partial^2 \psi}{\partial z^2} \quad (2.2.11)$$

Laplaceov operátor vo valcovej súradnicovej sústave

$$\Delta \psi(r, \varphi, z) = \frac{\partial^2 \psi}{\partial r^2} + \frac{1}{r} \frac{\partial \psi}{\partial r} + \frac{1}{r^2} \frac{\partial^2 \psi}{\partial \varphi^2} + \frac{\partial^2 \psi}{\partial z^2} \quad (2.2.12)$$

2.2.2 ŠÍRENIE VÝKONU

Výkon P – integrácia Poyntingovho vektora

$$P = \int_A \operatorname{Re} \left\{ \vec{S} \right\} d\vec{A} \quad (2.2.13)$$

kde

$$\vec{S} = \frac{1}{2} [\vec{E}, \vec{H}^*] \quad (2.2.14)$$

je komplexný Poyntingov vektor.

2.2.3 ROVNICA EIKONALU

- geometrická optika
- vlnová teória šírenia svetla

Rovnica eikonalu

$$(\operatorname{grad} \phi)^2 = (\nabla \phi)^2 = c^2 \epsilon \mu = n^2 \quad (2.2.15)$$

V kartézskej súradnicovej sústave

$$\left(\frac{\partial \phi}{\partial x} \right)^2 + \left(\frac{\partial \phi}{\partial y} \right)^2 + \left(\frac{\partial \phi}{\partial z} \right)^2 = n^2(x, y, z) \quad (2.2.16)$$

Povrch eikonalu

$$\phi(\vec{r}) = \text{konšt.} \quad (2.2.17)$$

2.2.4 ROVNICE LÚČA

$$n(x, y, z) \frac{d\vec{r}}{ds} = \operatorname{grad} \phi \quad (2.2.18)$$

po úprave

$$\frac{d}{ds} \left[n(x, y, z) \vec{s}_0 \right] = \text{grad } n \quad (2.2.19)$$

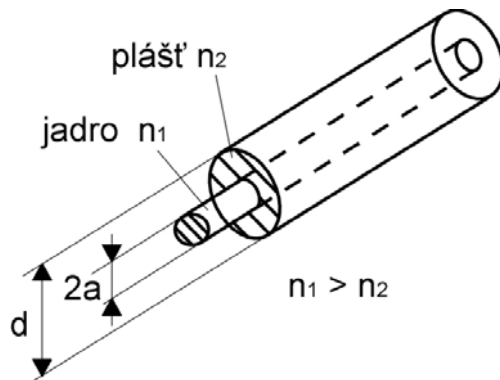
alebo

$$\frac{d}{ds} \left[n(x, y, z) \frac{d\vec{r}}{ds} \right] = \text{grad } n \quad (2.2.20)$$

Základné rovnice na určenie dráhy lúča v nehomogénnom prostredí.

2.3 LÚČOVÁ TEÓRIA ŠÍRENIA SVETLA V STUPŇOVITOM OPTICKOM VLÁKNE

Vlákno tvorené jadrom a plášťom (obr. 2.4)



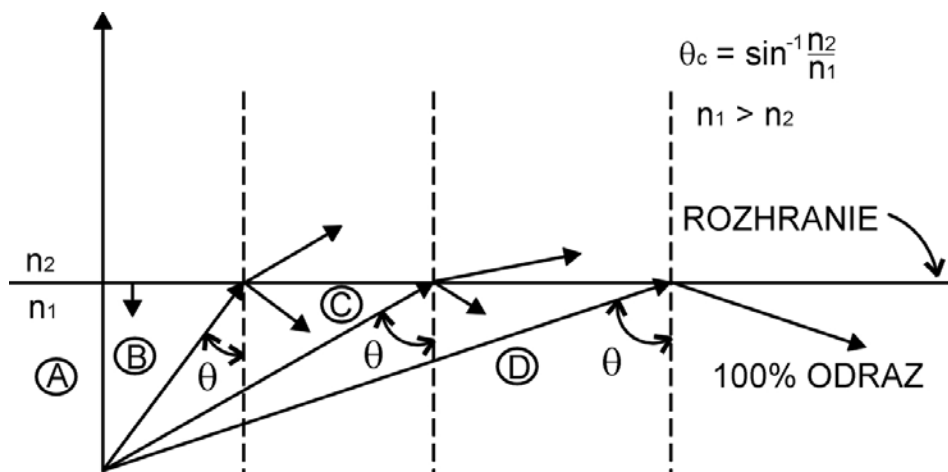
Obr. 2.4 Stupňovité mnohovidové optické vlákno.

Vidy – rôzne dráhy šírenia sa svetelnej vlny

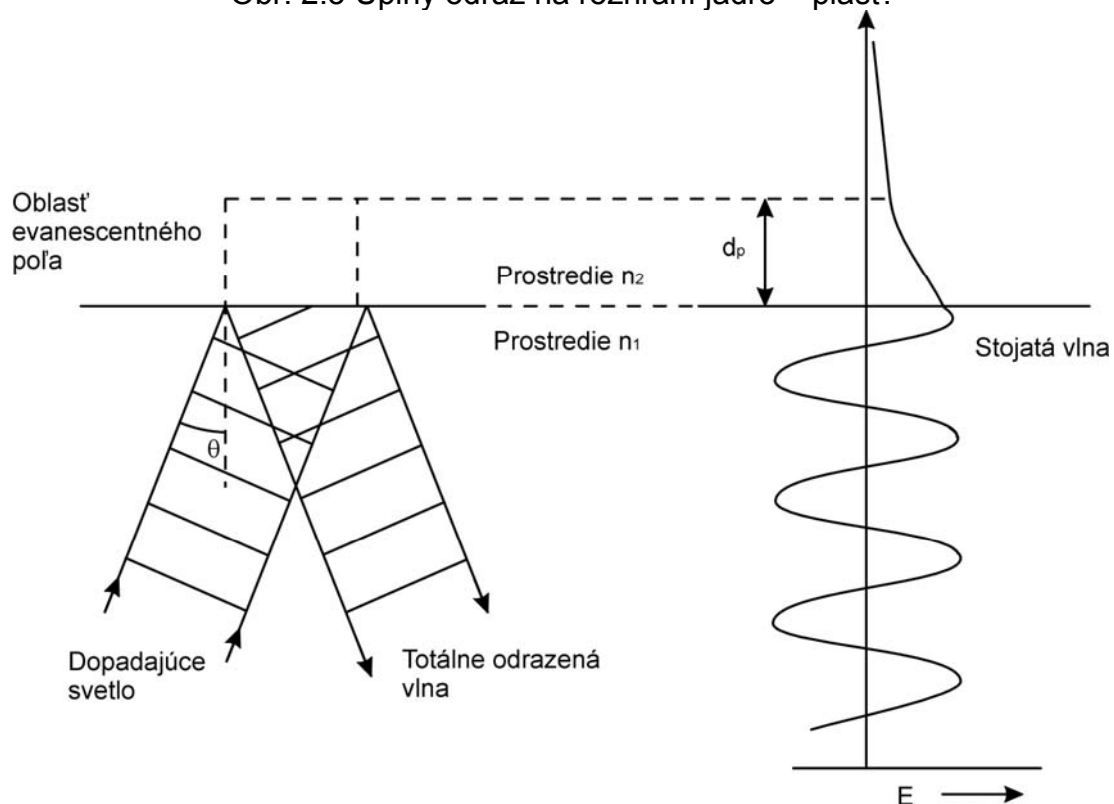
2.3.1 KLASIFIKÁCIA LÚČOV

SI-MM vlákno s indexom lomu jadra n_1 a indexom lomu plášťa n_2 pričom $n_2 < n_1$ ($n_1 = 1,48$ a $n_2 = 1,46 \Rightarrow \theta_c = 80,6^\circ$) obr. 2.5

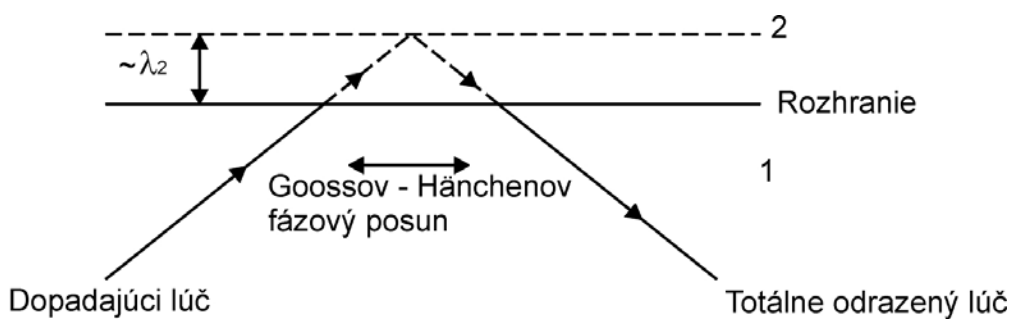
Totálny odraz – evanescentná vlna (obr. 2.6).



Obr. 2.5 Úplný odraz na rozhraní jadro – plášt'.

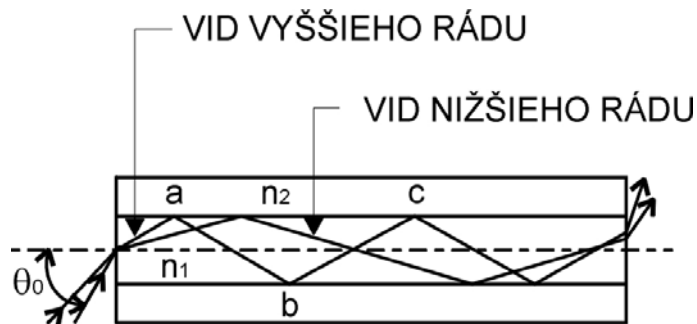


Obr. 2.6 Vznik evanescentnej vlny pri totálnom odraze.



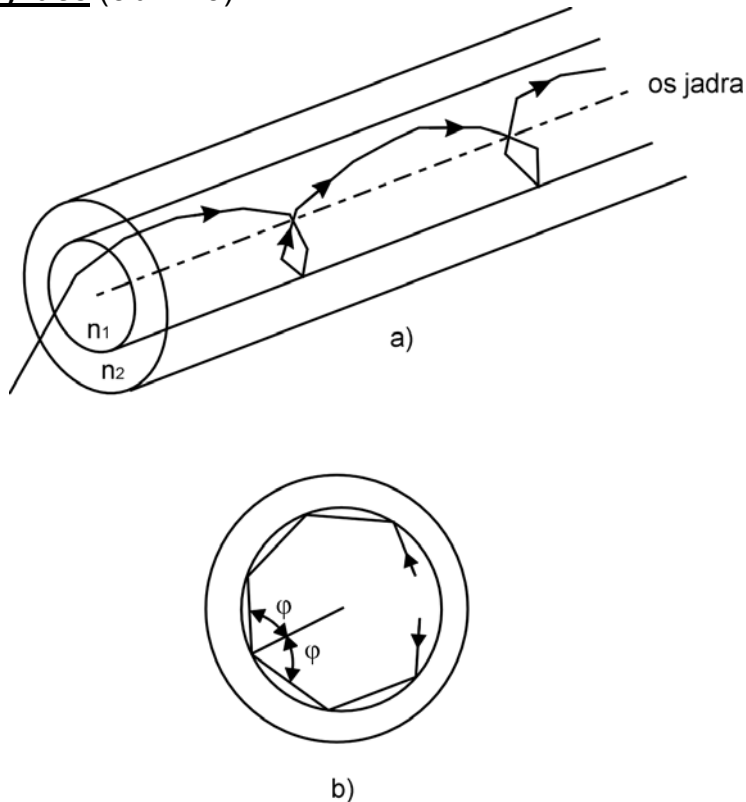
Obr. 2.7 Goosov – Hänchenov fázový posun pri totálnom odraze.

Lúče v (SI-MM OV) :
 1. Meridionálne lúče (obr. 2.8)



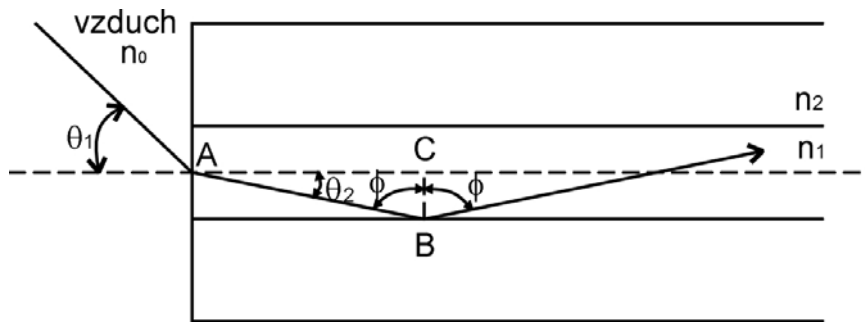
Obr. 2.8 Šírenie meridionálnych lúčov.

2. Šikmé (kosé) lúče (obr. 2.9)



Obr.2.9 Špirálová dráha šikmých lúčov v SIMM vlákne (a) a jej priečna projekcia (b).

2.3.2 ANALÝZA MERIDIONÁLNYCH LÚČOV



Obr. 2.10 Dráha meridionálneho lúča.

Snellov zákon (**obr. 2.10**)

$$n_0 \sin \theta_1 = n_1 \sin \theta_2 \quad (2.3.1)$$

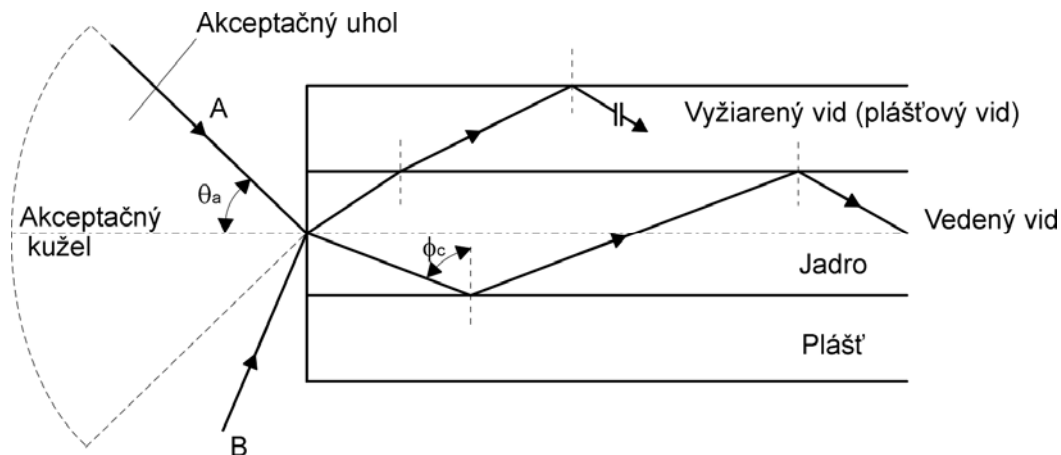
$$\phi = \frac{\pi}{2} - \theta_2 \quad (2.3.2)$$

$$n_0 \sin \theta_1 = n_1 \cos \phi = n_1 \sqrt{1 - \sin^2 \theta} \quad (2.3.3)$$

$\theta_1 = \theta_a$ – akceptačný uhol optického vlákna

$$n_0 \sin \theta_a = \sqrt{n_1^2 - n_2^2} \quad (2.3.4)$$

Akceptačný kužel optického vlákna (**obr. 2.11**)



Obr. 2.11 Akceptačný kužel optického vlákna.

- Vedené vidy
- Plášťové vidy

2.3.3 NUMERICKÁ APERTÚRA

$$NA = n_0 \sin \theta_a = \sqrt{n_1^2 - n_2^2} \quad (2.3.5)$$

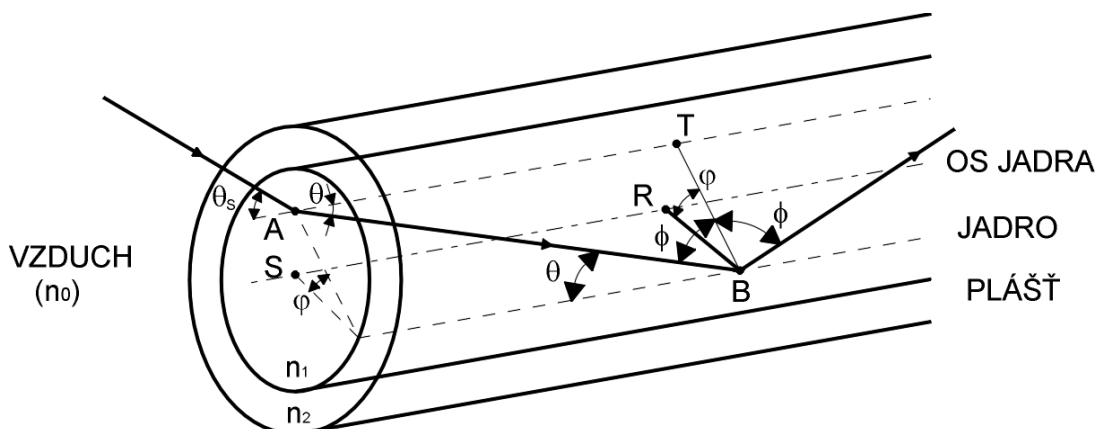
Relatívny rozdiel indexu lomu jadra a plášťa Δ

$$\Delta = \frac{n_1^2 - n_2^2}{2n_1^2} \cong \frac{n_1 - n_2}{n_1} \quad \text{pre } \Delta \ll 1 \quad (2.3.6)$$

potom

$$NA \cong n_1 \sqrt{2\Delta} \quad (2.3.7)$$

2.3.4 ANALÝZA ŠIKMÝCH LÚČOV



Obr. 2.12 Dráha šikmého lúča dopadajúceho pod uhlom θ_s .

- Šikmé (kosé) vidy (obr. 2.12)**

$$\sin \theta_{as} = \frac{n_1}{n_0} \frac{\cos \theta_c}{\cos \varphi} = \frac{n_1}{n_0 \cos \varphi} \sqrt{1 - \left(\frac{n_2}{n_1} \right)^2} \quad (2.3.8)$$

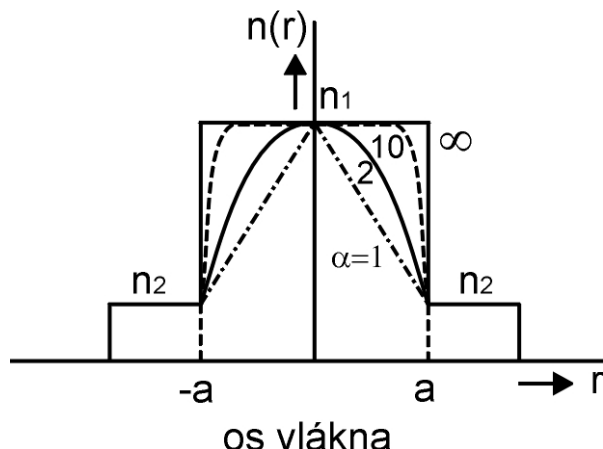
θ_{as} – akceptačný uhol pre šikmé lúče. Pomocou NA

$$n_0 \sin \theta_{as} \cos \varphi = \sqrt{n_1^2 - n_2^2} = NA \quad (2.3.9)$$

2.4 LÚČOVÁ TEÓRIA ŠÍRENIA SVETLA V OPTICKOM VLÁKNE SO SPOJITOU ZMENOU INDEXU LOMU

2.4.1 KLASIFIKÁCIA LÚČOV A ZÁKLADNÉ ROVNICE

OV s gradientným profilom indexu lomu (GI)

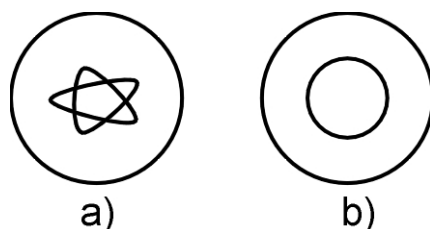


Obr. 2.13 Profil indexu lomu tzv. gradientného OV.

- Priebeh indexu lomu (obr. 2.13)

$$n(r) = \begin{cases} n_1 \sqrt{1-2\Delta\left(\frac{r}{a}\right)^\alpha} & \text{pre } r < a \text{ (jadro)} \\ n_1 \sqrt{1-2\Delta} & \text{pre } r > a \text{ (plášť)} \end{cases} \quad (2.4.1)$$

α – parameter profilu



Obr. 2.14 Šírenie šikmých lúčov v OV so spojitým profilom indexu lomu
(a) lúče s deformovanou dráhou; (b) špirálové lúče.

- Špirálové lúče (obr. 2.14)

Analýza – z rovnice lúča (2.3.42)

$$\frac{d}{ds} \left(n \frac{dr}{ds} \right) - nr \left(\frac{d\theta}{ds} \right)^2 = \frac{dn}{dr} \quad (2.4.2)$$

pre zložku r

$$n \left(\frac{dr}{ds} \right) \left(\frac{d\theta}{ds} \right) + \frac{d}{ds} \left(nr \frac{d\theta}{ds} \right) = 0 \quad (2.4.3)$$

pre zložku θ

$$\frac{d}{ds} \left(n \frac{dz}{ds} \right) = 0 \quad (2.4.4)$$

pre zložku z

Možno integrovať rovnicu (2.4.2), z čoho dostaneme

$$z = \int_{r_0}^r N_0 \left[\left(\frac{n(r)}{n_0} \right)^2 + \left(1 - \left(\frac{r_0}{r} \right)^2 \right) (x_0 M_0 - y_0 L_0) - N_0^2 \right]^{-1/2} dr \quad (2.4.5)$$

2.4.2 MERIDIONÁLNE LÚČE

$$y_0 = M_0 = 0 \text{ a } x_0 = r_0$$

po integrácii (2.4.9) dostaneme

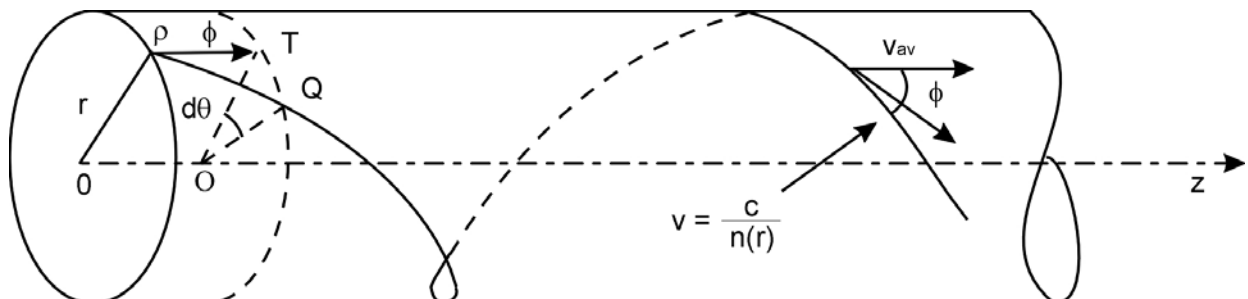
$$r = C \sin \left(\frac{\eta n_1}{n_0 N_0} + \psi \right) \quad (2.4.6)$$

Rovnica (2.4.12) vyjadruje dráhu lúča tvaru vlny s períodou Λ .

Λ je konštantné pre určitý profil indexu lomu

$$n^2(r) = n_1^2 \left[1 - (\xi r)^2 + \frac{2}{3} (\xi r)^4 + \dots \right] = n_1^2 \operatorname{sech}^2(\xi r) \quad (2.4.7)$$

2.4.3 ŠPIRÁLOVÉ LÚČE



Obr. 2.15 Dráha špirálového lúča.

Axiálna rýchlosť v_z (obr. 2.15)

$$v_z(r) = \frac{\cos \phi}{n(r) \sqrt{\epsilon_0 \mu_0}} = \frac{\sqrt{1 + \frac{r}{n} \frac{dn}{dr}}}{n \sqrt{\epsilon_0 \mu_0}} \quad (2.4.8)$$

Rýchlosť má byť pozdĺž dráhy lúča konštantná

$$n^2(r) = \frac{n_1^2}{1 + (\eta r)^2} = n_1^2 \left[1 - (\eta r)^2 + (\eta r)^4 - \dots \right] \quad (2.4.9)$$

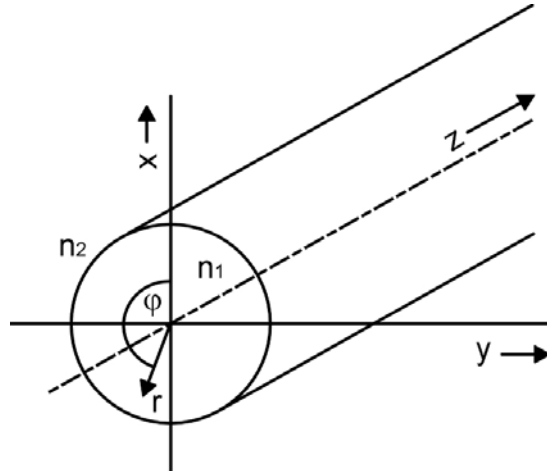
- Kvadratický profil indexu lomu

2.5 VLNOVÁ TEÓRIA ŠÍRENIA SVETLA V OPTICKOM VLÁKNE SO SKOKOVOU ZMENOU INDEXU LOMU

- Riešenie Maxwellových rovníc
- Meridionálne vidy – TE_{ml} a TM_{ml} vidy
- Hybridné vidy – HE_{ml} alebo EH_{ml}
- $\Delta \ll 1$ (v praxi $\Delta < 0.03$) – kvázhomogénne vidy
- Lineárne polarizované (LP) vidy

2.5.1 RIEŠENIE VLNOVEJ ROVNICE

$$n(r) = \begin{cases} n_1 & \text{pre } r \leq a \text{ (jadro OV)} \\ n_2 & \text{pre } r > a \text{ (plášť OV)} \end{cases} \quad (2.5.1)$$



Obr. 2.16 Optické vlákno ako homogénny valcový dielektrický svetlovod.

Intenzita elektrického a magnetického poľa

$$\vec{E} = \operatorname{Re} \left\{ \vec{E}_0(r, \varphi) \exp[j(\omega t - \beta z)] \right\} \quad (2.5.2)$$

$$\vec{H} = \operatorname{Re} \left\{ \vec{H}_0(r, \varphi) \exp[j(\omega t - \beta z)] \right\} \quad (2.5.3)$$

Zložky fázorov

$$E_{0r} = -\frac{j}{\Gamma^2} \left(\beta \frac{\partial E_{0z}}{\partial r} + \omega \mu_0 \frac{\partial H_{0z}}{\partial \varphi} \right) \quad (2.5.4)$$

$$E_{0\varphi} = -\frac{j}{\Gamma^2} \left(\beta \frac{1}{r} \frac{\partial E_{0z}}{\partial \varphi} - \omega \mu_0 \frac{\partial H_{0z}}{\partial r} \right) \quad (2.5.5)$$

$$H_{0r} = -\frac{j}{\Gamma^2} \left(\beta \frac{\partial H_{0z}}{\partial r} - \omega \epsilon \frac{1}{r} \frac{\partial E_{0z}}{\partial \varphi} \right) \quad (2.5.6)$$

$$H_{0\varphi} = -\frac{j}{\Gamma^2} \left(\beta \frac{1}{r} \frac{\partial H_{0z}}{\partial \varphi} + \omega \epsilon \frac{\partial E_{0z}}{\partial r} \right) \quad (2.5.7)$$

E_{0z} a H_{0z} – riešením vlnových rovníc

$$\frac{\partial^2 \psi}{\partial r^2} + \frac{1}{r} \frac{\partial \psi}{\partial r} + \frac{1}{r^2} \frac{\partial^2 \psi}{\partial \varphi^2} + \Gamma^2 \psi = 0 \quad (2.5.8)$$

kde

$$\Gamma = \sqrt{k^2 n^2 - \beta^2} \quad (2.5.9)$$

Priečna konštanta šírenia

$$k = \omega \sqrt{\epsilon_0 \mu_0} \quad (2.5.10)$$

Vlnové číslo

Substitúciou

$$\Psi(r, \varphi) = R(r) \phi(\varphi) \quad (2.5.11)$$

dostaneme :

a) Rovnicu kmitania

$$\frac{\partial^2 \phi}{\partial \varphi^2} + m^2 \phi = 0 \quad (2.5.12)$$

ktorej riešenie je

$$\phi(\varphi) = \begin{cases} \cos(m\varphi + \xi) \\ \sin(m\varphi + \xi) \end{cases} \quad (2.5.13)$$

b) Beselovu diferenciálnu rovnicu

$$\frac{\partial^2 R}{\partial r^2} + \frac{1}{r} \frac{\partial R}{\partial r} + \left(\Gamma^2 - \frac{m^2}{r^2} \right) R = 0 \quad (2.5.14)$$

ktorej riešenie je

$$R(r) = \begin{cases} AJ_m(\Gamma r) + A'N_m(\Gamma r) & (\text{pre } \Gamma \text{ reálne}) \\ CK_m(gr) + C'I_m(gr) & \begin{cases} (\text{pre } \Gamma = jg \text{ čisto}) \\ (\text{imaginárne}) \end{cases} \end{cases} \quad (2.5.15)$$

kde

J_m – Besselova funkcia prvého druhu,

N_m – Besselova funkcia druhého druhu (tzv. Neumannova funkcia)

K_m – modifikovaná Besselova funkcia prvého druhu

I_m – modifikovaná Besselova funkcia druhého druhu m -tého rádu

2.5.2 ELEKTROMAGNETICKÉ POLE V JADRE A PLÁŠTI OV

Pre konštantu šírenia β platí

$$kn_2 < \beta < kn_1 \quad (2.5.16)$$

Dve riešenia elektromagnetického poľa OV

$$E_{0z} = \begin{cases} AJ_m(\Gamma_1 r) \sin m\varphi & (\text{pre } r \leq a) \\ CK_m(g_2 r) \sin m\varphi & (\text{pre } r \geq a) \end{cases} \quad (2.5.17)$$

$$H_{0z} = 0 \quad (\text{všade}) \quad (2.5.18)$$

a

$$H_{0z} = \begin{cases} BJ_m(\Gamma_1 r) \cos m\varphi & (\text{pre } r \leq a) \\ DK_m(g_2 r) \cos m\varphi & (\text{pre } r \geq a) \end{cases} \quad (2.5.19)$$

$$E_{0z} = 0 \quad (\text{všade}) \quad (2.5.20)$$

$$E_{0r} = \left[-A \frac{j\beta a}{u} J'_m \left(u \frac{r}{a} \right) + B \frac{j\omega a^2 \mu_0 m}{u^2 r} J_m \left(u \frac{r}{a} \right) \right] \sin m\varphi \quad (2.5.22)$$

A, B, C, D – integračné konštenty

V jadre OV je

$$E_{0\varphi} = \left[-A \frac{j\beta a^2 m}{u^2 r} J_m \left(u \frac{r}{a} \right) + B \frac{j\omega a \mu_0}{u} J'_m \left(u \frac{r}{a} \right) \right] \cos m\varphi \quad (2.5.23)$$

$$E_{0z} = A J_m \left(u \frac{r}{a} \right) \sin m\varphi \quad (2.5.24)$$

$$H_{0r} = \left[A \frac{j\omega a^2 \varepsilon_1 m}{u^2} J_m \left(u \frac{r}{a} \right) - B \frac{j\beta a}{u} J'_m \left(u \frac{r}{a} \right) \right] \cos m\varphi \quad (2.5.25)$$

$$H_{0\varphi} = \left[-A \frac{j\omega a \varepsilon_1}{u} J'_m \left(u \frac{r}{a} \right) + B \frac{j\beta a^2 m}{u^2 r} J_m \left(u \frac{r}{a} \right) \right] \sin m\varphi \quad (2.5.26)$$

$$H_{0z} = B J_m \left(u \frac{r}{a} \right) \cos m\varphi \quad (2.5.27)$$

kde

$$u = \Gamma_1 a = a \sqrt{n_1^2 k^2 - \beta^2} \quad (2.5.28)$$

V plášti OV

$$E_{0r} = \left[C \frac{j\beta a}{w} K'_m \left(w \frac{r}{a} \right) - D \frac{j\omega a^2 \mu_0 m}{w^2 r} K_m \left(w \frac{r}{a} \right) \right] \sin m\varphi \quad (2.5.29)$$

$$E_{0\varphi} = \left[C \frac{j\beta a^2 m}{w^2 r} K_m \left(w \frac{r}{a} \right) - D \frac{j\omega a \mu_0}{w} K'_m \left(w \frac{r}{a} \right) \right] \cos m\varphi \quad (2.5.30)$$

$$E_{0z} = C K_m \left(w \frac{r}{a} \right) \sin m\varphi \quad (2.5.31)$$

$$H_{0r} = \left[-C \frac{j\omega a^2 \varepsilon_2 m}{w^2 r} K_m \left(w \frac{r}{a} \right) + D \frac{j\beta a}{w} K'_m \left(w \frac{r}{a} \right) \right] \cos m\varphi \quad (2.5.32)$$

$$H_{0\varphi} = \left[C \frac{j\omega a \varepsilon_2}{w} K'_m \left(w \frac{r}{a} \right) - D \frac{j\beta a^2 m}{w^2 r} K_m \left(w \frac{r}{a} \right) \right] \sin m\varphi \quad (2.5.33)$$

$$H_{0z} = D K_m \left(w \frac{r}{a} \right) \cos m\varphi \quad (2.5.34)$$

kde

$$w = |\Gamma_2| a = g_2 a = a \sqrt{\beta^2 - n_2^2 k^2} \quad (2.5.35)$$

2.5.3 KLASIFIKÁCIA VIDOV

A. $m = 0$

1. $B = D = 0$ – TM vidy (TM_{0l})
2. $A = C = 0$ – TE vidy (TE_{0l})

B. $m \geq 1$ – EH a HE vidy

2.5.4 EXAKTNÉ RIEŠENIE PRE KONŠTANTU ŠÍRENIA

Z okrajových podmienok na rozhraní $r = a$ (jadro – plášť OV)

$$E_{0z}^{(1)} = E_{0z}^{(2)} \quad (2.5.36)$$

$$E_{0\varphi}^{(1)} = E_{0\varphi}^{(2)} \quad (2.5.37)$$

$$H_{0z}^{(1)} = H_{0z}^{(2)} \quad (2.5.38)$$

$$\varepsilon_1 E_{0r}^{(1)} = \varepsilon_2 E_{0r}^{(2)} \quad (2.5.39)$$

$$\mu_1 H_{0r}^{(1)} = \mu_2 H_{0r}^{(2)} \quad (2.5.40)$$

Sústava homogénnych lineárnych rovníc

$$\det [M] = 0 \quad (2.5.41)$$

z čoho charakteristická rovnica OV

$$\begin{aligned} \left[\frac{J'_m(u)}{u J_m(u)} + \frac{K'_m(w)}{w K_m(w)} \right] \cdot \left[\frac{\varepsilon_1}{\varepsilon_2} \frac{J'_m(u)}{u J_m(u)} + \frac{K'_m(w)}{w K_m(w)} \right] &= \\ &= m^2 \left(\frac{1}{u^2} + \frac{1}{w^2} \right) \cdot \left(\frac{\varepsilon_1}{\varepsilon_2} \frac{1}{u^2} + \frac{1}{w^2} \right) \end{aligned} \quad (2.5.42)$$

$$u^2 + w^2 = a^2(n_1^2 k^2 - \beta^2) + a^2(\beta^2 - n_2^2 k^2) = k^2 n_1^2 a^2 2\Delta \quad (2.5.43)$$

a) TM vidy

- $m = 0, B = D = 0$

$$\frac{\varepsilon_1 J'_0(u)}{\varepsilon_2 u J_0(u)} + \frac{K'_0(w)}{w K_0(w)} = 0 \quad (2.5.44)$$

b) TE vidy

- $m = 0, A = C = 0$

$$\frac{J'_0(u)}{u J_0(u)} + \frac{K'_0(w)}{w K_0(w)} = 0 \quad (2.5.45)$$

c) Hybridné vidy

- $m \geq 1$

2.5.5 APROXIMÁCIA SLABOVEDÚCICH OPTICKÝCH VLÁKIEN

$$\Delta \ll 1 \implies (\varepsilon_1 - \varepsilon_2) / \varepsilon_1 \ll 1$$

1. Konštanta šírenia TM vidov sa približne rovná konštante šírenia TE vidov
2. Konštanta šírenia hybridných vidov ($m \geq 1$) sa dá vyjadriť v omnoho jednoduchšom tvare.

$$\frac{J'_m(u)}{u J_m(u)} + \frac{K'_m(w)}{w K_m(w)} = \pm m \left(\frac{1}{u^2} + \frac{1}{w^2} \right) \quad (2.5.46)$$

v jednotnom tvare

$$\begin{aligned} \frac{u \left\{ 2 \left(\frac{m-1}{u} \right) J_{m-1}(u) - J_{m-2}(u) \right\}}{J_{m-1}} &= \\ &= \frac{w \left\{ 2 \left(\frac{m-1}{w} \right) K_{m-1}(w) + K_{m-2}(w) \right\}}{K_{m-1}} \end{aligned} \quad (2.5.47)$$

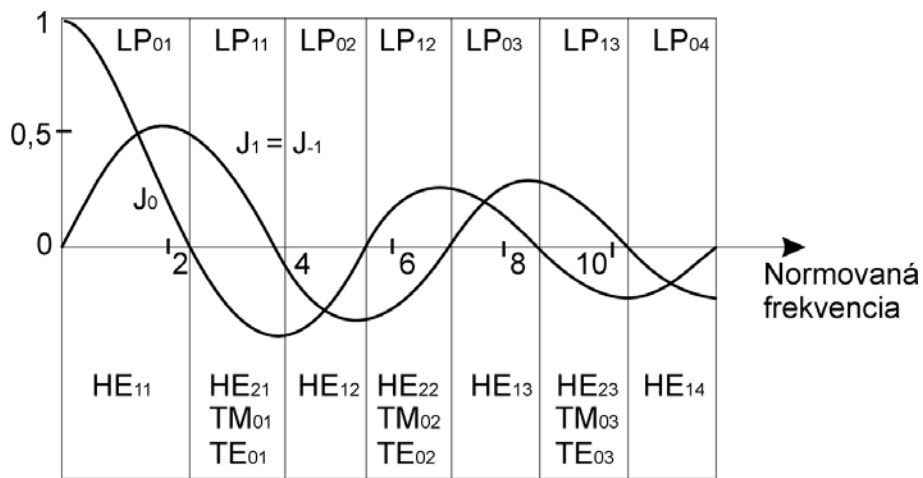
Charakteristická rovnica OV

$$\frac{u J_{m'-1}(u)}{u J_{m'}(u)} = - \frac{w K_{m'-1}(w)}{K_{m'}(w)} \quad (2.5.48)$$

m' je

$$m' = \begin{cases} 1 & (\text{pre } TM \text{ a } TE \text{ vidy}), \\ m+1 & (\text{pre } HE \text{ vidy}), \\ m-1 & (\text{pre } HE \text{ vidy}). \end{cases} \quad (2.5.49)$$

Zavedenie lineárne polarizovaných (LP) vidov.



Obr. 2.17 Oblasti vzniku LP vidov v homogénnom SI – MM OV. definujú sa parametre

$$\nu = ka(NA) = kn_1 a \sqrt{2\Delta} \quad (2.5.50)$$

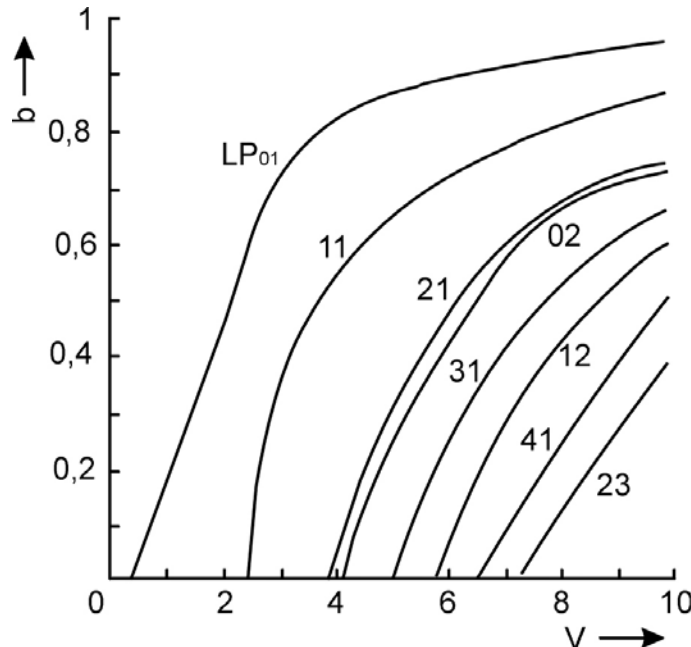
Normovaná frekvencia

$$\beta = k n_1 \sqrt{1 - \frac{2\Delta u^2}{\nu^2}} \quad (2.5.51)$$

Fázová konštantá šírenia

$$b = 1 - \frac{u^2}{\nu^2} = \frac{\left(\frac{\beta}{k}\right)^2 - n_2^2}{n_1^2 - n_2^2} = \frac{\left(\frac{\beta}{k}\right)^2 - n_2^2}{2n_1^2 \Delta} \quad (2.5.52)$$

Normovaná konštantá šírenia.



Obr. 2.18 Normovaná konštantá šírenia b ako funkcia normovanej frekvencie v pre niektoré LP_{m'} l vidy.

2.5.6 KRITICKÉ FREKVENCIE VIDOV

- $kn_2 < \beta$ (2.5.53)

- $\beta = kn_2$ (2.5.54)

Kritická (medzná) podmienka – kritická (medzná) frekvencia.

- Šíriace sa vidy
- Vyžiarene vidy
- Vytekajúce vidy.

Kritické frekvencie v_c LP_{m'l} vidov

$$v_c = \alpha_{(m'-1)l} \quad (2.5.55)$$

$$v_c = \begin{cases} \alpha_{0l} & \text{pre } TM_{0l} \text{ a } TE_{0l} \text{ vidy,} \\ \alpha_{ml} & \text{pre } EH_{ml} \text{ vidy } (m \geq 1), \\ 0 \text{ a } \alpha_{1l} & \text{pre } HE_{1l} \text{ vidy,} \\ \alpha_{(m-2)l} & \text{pre } HE_{ml} \text{ vidy } (m \geq 2). \end{cases} \quad (2.5.56)$$

2.5.7 LINEÁRNE POLARIZOVANÉ VIDY

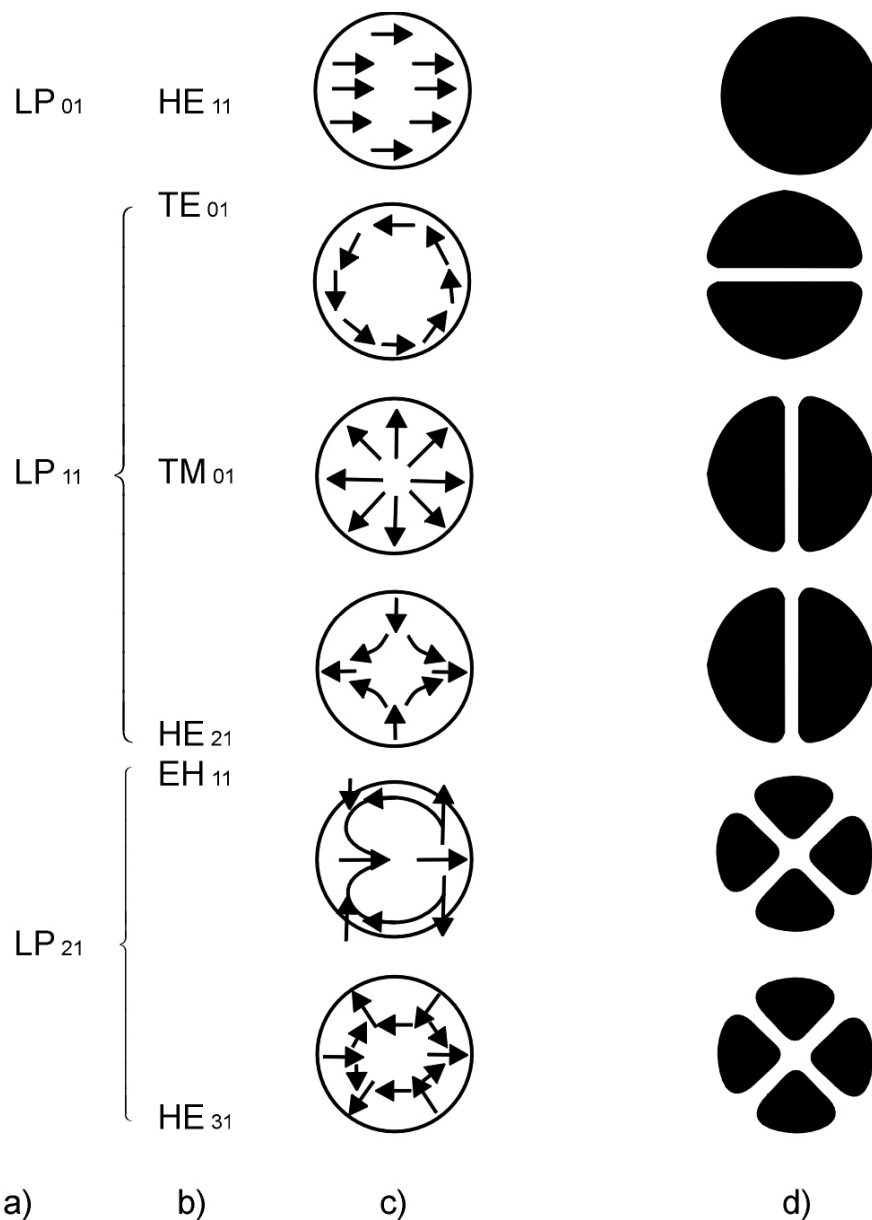
LP vidy – lineárne polarizované vidy

Vlnové obrazce (vidové obrazce) – obr. 2.19

Tabuľka 2.1

ROZDELENIE 10 NAJNIŽŠÍCH LP VIDOV

LP vidy	Tradičné označenie a počet Vidov	Stupeň degenerácie
LP ₀₁	HE ₁₁ x 2	2
LP ₁₁	TE ₀₁ , TM ₀₁ , HE ₂₁ x 2	4
LP ₂₁	EH ₁₁ x 2, HE ₃₁ x 2	4
LP ₀₂	HE ₁₂ x 2	2
LP ₃₁	EH ₂₁ x 2, HE ₄₁ x 2	4
LP ₁₂	TE ₀₂ , TM ₀₂ , HE ₂₂ x 2	4
LP ₄₁	EH ₃₁ x 2, HE ₅₁ x 2	4
LP ₂₂	EH ₁₂ x 2, HE ₃₂ x 2	4
LP ₀₃	HE ₁₃ x 2	2
LP ₀₅₁	EH ₄₁ x 2, HE ₆₁ x 2	4



Obr. 2.19 Rozloženie intenzity elektrického poľa troch najnižších LP vidov v homogénnom SI – MM OV: označenie LP vidov, (b) tradičné označenie vidov, (c) rozloženie elektromagnetického poľa tradičných vidov, (d) rozloženie E_{0x} pre LP vidy.

2.5.8 MNOHOVIDOVÉ A JEDNOVIDOVÉ OPTICKÉ VLÁKNA

Vidový objem M_s pre SI – MM OV

$$M_s \equiv \frac{v^2}{2} \quad (2.5.57)$$

- Vidová konverzia)

Šírenie len dominantného vidu LP_{01} OV

$$0 < v = k n_1 a \sqrt{2\Delta} < v_c^{LP_{01}} \equiv 2,405 \quad (2.5.58)$$

Jednovidové stupňovité (SI - SM) OV – môžu sa šíriť dva vidy LP_{01} s navzájom ortogonálnou polarizáciu

2.6 VLNOVÁ TEÓRIA ŠÍRENIA SVETLA V OPTICKOM VLÁKNE SO SPOJITOU ZMENOU INDEXU LOMU

- WKB metóda

$$E_x = \frac{1}{2} \left| G_1(r) e^{jS(r)} + G_2(r) e^{-jS(r)} \right| \left(\frac{\cos m\varphi}{\sin m\varphi} \right) e^{j\beta z} \quad (2.6.1)$$

$G_i(r)$ – amplitúdové funkcie

$S(r)$ – fázová funkcia

WKB metódu možno použiť na výpočet konštant šírenia pre vedené vidy v gradientnom optickom vlákne

$$\beta = n_1 k \sqrt{\frac{1-2\sqrt{2\Delta}}{n_1 k a} (2l+m+1)} \quad (2.6.2)$$

Vidový objem gradientného OV je

$$M_g = \frac{\alpha}{\alpha+2} (n_1 k a)^2 \Delta \quad (2.6.3)$$

pre $\Delta \ll 1$ platí

$$M_g \cong \frac{\alpha}{\alpha+2} \frac{v^2}{2} \quad (2.6.4)$$

pre $\alpha = 2$

$$M_g \cong \frac{v^2}{2} = \frac{1}{2} M_s \quad (2.6.5)$$

Pre jednovidové gradientné OV

$$0 < v < v_c = 2,405 \sqrt{1 + \frac{\alpha}{2}} \quad (2.6.6)$$